



全国冷弯型鋼
和帶鋼生產
現場會議
資料汇編

内部資料注意保密

冷弯型鋼

冶金工业部钢铁司 编

冶金工业出版社



全国冷弯型鋼和帶鋼生產現場會議資料汇編

冷弯型鋼

冶金工业部钢铁司 编

1960年8月第一版

1960年8月北京第一次印刷2,425册

开本850×1168 • 1/32 • 字数 130,000 • 印张 5 • 插页 8 • 定价0.55元
统一书号15062 • 先99 冶金工业出版社印刷厂印 内部发行

冶金工业出版社出版(地址:北京市灯市口甲45号)

北京市书刊出版业营业许可证出字第093号

全國冷弯型鋼和帶鋼生產現場會議資料彙編

冷弯型鋼

冶金工業部鋼鐵司 編

內部資料 注意保密

冶金工业出版社

出版者的話

积极发展冷弯型鋼生产、扩大其品种及应用，是冶金工业部門及有关部门当前的一項共同任务。为此，冶金工业部于1960年4月于上海召开了有各有关部门代表参加的冷弯型鋼及帶鋼生产現場會議。

通过四天的會議，代表們一致認識到发展冷弯型鋼生产的巨大国民经济意义，交流了生产經驗，討論了技術条件，並拟訂了进一步发展冷弯型鋼生产及进行有关科学研究工作的計劃。

为了便干各地了解並能积极地发展冷弯型鋼生产，我們將这次會議的六篇主要資料及前已見諸书刊的另外两篇有关資料汇編在一起，供各有关单位参考。

目 录

1. 冷弯型鋼生产工艺与设备.....	上海黑色冶金設計院 4
2. 冷弯型鋼生产技术总结.....	上鋼十厂43
3. 450毫米冷弯机的誕生.....	鞍鋼中型厂95
4. 冷弯10号槽鋼試制总结.....	鞍鋼中央試驗室98
5. 用冷拉法生产冷弯型鋼簡介.....	上海冶金局中心試驗室103
6. 冷弯型鋼在建筑中的应用.....	建筑工程部建筑科学研究院龔思礼 114
7. 冷弯6.5号槽鋼的压力測定.....	姚由 馮光純 128
8. 关于弯曲型鋼生产的介紹.....	蔡韻137

1. 冷弯型鋼生产工艺与設備

上海黑色冶金設計院

一、前　　言

上鋼十厂冷弯型鋼生产車間自1958年設計建成以来，已取得了初步的成效。所生产的几种断面較简单的型鋼，已开始成批地供应用戶的需要。

該車間的建成和投入生产，是我国在冶金工厂发展冷弯型鋼生产的开端，在这以前，只在汽車、自行車制造厂等有一些小型的特殊用途的輥式弯曲机，生产供自己需要的小型型材。此外，尚有用压床冲压和拉拔方法来生产冷弯型鋼，其产量低，制品短，因而大大限制了它們的发展和使用范围。

用輥式冷弯机生产冷弯型具有下列优点：

1. 可以获得較长尺寸的制品，产量高；
2. 可以生产用热軋方式难以得到的各种異形断面的薄壁型材（图1—1）；
3. 在建筑結構、車輛車廂制造、飞机制造及汽車自行車制造等方面采用冷弯型鋼，能大大減輕結構物的重量，因而能节省金屬。据国外的資料載出，与热軋型鋼比較，可以节省金屬25~35%。

由于具有上述优点，特別是节省金屬这一重要經濟意义，因此引起了人們对这一生产技术的重視。在苏联及其他国家，已有規模相当大的冷弯型鋼生产車間。國內在繼上鋼十厂冷弯車間建設之后，如鞍鋼等地也开始建造生产冷弯型鋼的设备。今后，将有更多，規模更大的冷弯車間在我国出現，并且冷弯型鋼将被广泛应用于各个工业部門。

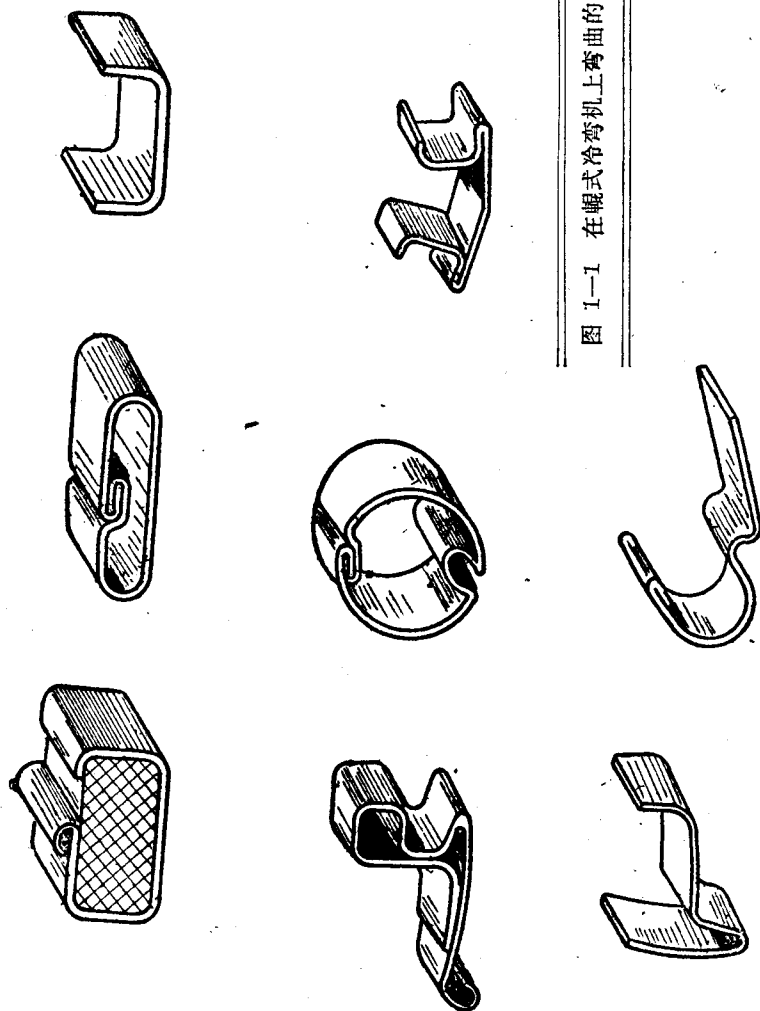


图 1-1 在輥式冷弯机上弯曲的型材

上鋼十厂冷弯車間共分两个工段：冷軋和冷弯。冷軋机是专为供给冷弯用的薄带鋼而設立的，可以生产厚度为0.35~2.5毫米、宽度达200毫米的冷軋帶鋼，年产量約7000~8000吨。冷弯机由8个旧軋机改装的机架組成，生产用的原料除由冷軋机供应外，还直接采用热軋的帶鋼来冷弯壁厚較大的型鋼。冷弯机的設計年产量为20000吨，实际生产已大大超出了这一指标。

这个車間的設計工作是在資料缺乏毫无經驗的情况下进行的，因而在工艺上和设备上都存在許多問題。下面仅就已經发现的一些問題，和收集到的一些資料，整理編印出来，以供大家参考。

二、冷弯时产生的力和冷弯机所需功率的計算

就目前來說，要准确地計算冷弯时产生的力和机床所需功率是不可能的。因为这两种数值取决于这样一些难以估計的因素，象軋輥对坯料的压力、坯料在輥中的滑动、拉力等。

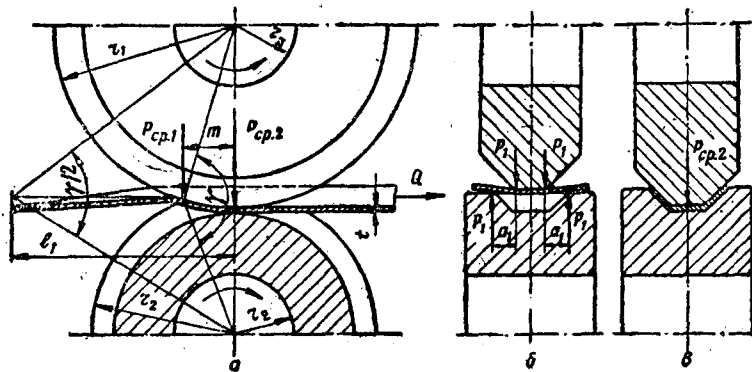


图 1—2 冷弯时坯料的变形过程（按Г.墨克尔特）

Г.墨克尔特提一种独特的方法来計算每对冷弯輥于冷弯时产生的力，和輥子連續冷弯时所需的扭轉力矩。請參看图2来研究这一方法。

坯料与两轧辊接触起点是在两辊最大直径相交处，即离轧辊轴的中心线m处（图1—2 a）。坯料与两辊相接触（图1—2 b）时，坯料断面开始变形，在图1—2 c 时变形结束。

坯料边缘在力 P_1 的作用下弯曲，力 P_1 造成弯曲力矩 M_1

$$M_1 = a_1 P_1 \quad (1)$$

由于出现了力 P_1 ，在上下轧辊上，离轧辊轴m处便有力 P_{cp1} ：

$$P_{cp1} = 2P_1 \quad (2)$$

在弯矩 M_1 作用下，当冷弯过程稳定时，坯料边缘便按长度 l_1 弯曲。

为了计算使坯料边缘弯曲的弯矩，墨克尔特提出用正应力沿坯料断面高度分配（图1—3）的方法。

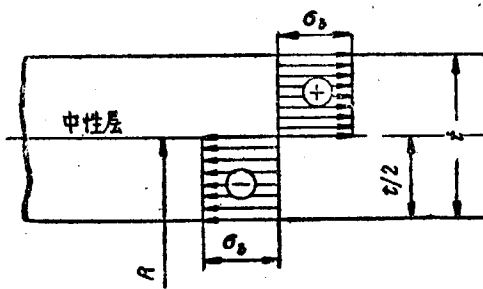


图 1—3 弯曲时，正应力沿断面高度分配图

取整个断面上的应力与强度极限 σ_b 相等，但这并不表示，弯曲时产生的应力真正有这样大，这样做的目的是使弯矩值有一保证裕量，此裕量是计算传动功率所必须的。

这样，根据图1—3弯矩值将等于：

$$M_{h3r} = \sigma_b \frac{L_1 t^2}{4} \quad (3)$$

因为 $M_1 = M_{h3r}$ ，根据式(1)(2)(3)作用于上下轧辊的力等于

$$P_{cp1} = \sigma_b \frac{l_1 t^2}{2 a_1} \quad (4)$$

根据輥輶結構，可求出力臂a（見图1—26）。平稳过渡部分的 l_1 根据墨氏的資料，可以用图表法求出（參閱图1—2a），但应根据这样一个前提出发，即联接平稳过渡段起点与輥輶中心綫的两根綫的夹角（角 $r/2$ ）应为联接輥輶夹住坯料的起点和輥輶中心綫两根綫的夹角（角 $r/2$ ）的 $\frac{1}{2}$ 。

这样，式（4）右边的各数，就均为已知了。

作用于輥輶上的除力 P_{cp1} 而外，还有力 P_{cp2} ，这是鋼材最后成型时定径压缩所需的一个力（見图1—2a）。此力的值用試驗方法选取。作用于輥輶的力 P_{cp2} 沒有力臂，即經過輥輶的軸（見图1—2a）。

作用于这一对輥輶上的旋轉力矩应等于：

$$M_{bp} = 2 (M_s + M_r) \quad (5)$$

式中 M_s ——一个輶淨旋轉力矩；

M_r ——一个輶的附加摩擦力矩。

只有力 P_{cp1} 造成淨旋轉力矩，因为力 P_{cp2} 沒有力臂：

$$M_s = m P_{cp1} = \sigma_a \frac{L_1 t^2 m}{2 a_1} \quad (6)$$

臂m可用图表法。按輥輶孔型和夹住坯料的条件来求算（參閱图1—2a）。因力 P_{cp1} ， P_{cp2} 作用引起的附加摩擦力矩等于：

$$M_r = \mu (P_{cp1} + P_{cp2}) r z \quad (7)$$

式中 r_z ——輥輶主軸軸頸的半径（图2a）；

μ ——軸承中軸頸摩擦系数。

如果冷弯是由几对輶同时进行，那么用同样的方法来計算所有輶对的力矩值，并按其总和求算冷弯机的传动功率，此传动功率等于：

$$N = \frac{M_{o6}n}{71620\eta} \quad (8)$$

式中 N ——冷弯机传动功率，马力；

M_{o6} ——所有辊对上的扭矩值和，公斤厘米；

n ——轧辊主轴转数。转/分；

η ——冷弯机传动（自电动机到轧辊接轴）效率。

如果坯料不是在相对旋转的传动辊对间冷弯，而是在空转辊间冷弯那么为了克服对坯料的变形阻力，必须加以轴向力 Q 拉力（见图1-2a）。

此力值等于：

$$Q = M_{bp} \frac{r_1 + r_2}{2r_1 r_2} \quad (9)$$

式中（参阅图1-2a） r_1 ——上辊最大半径；

r_2 ——下辊最大半径。

如果在辊对间双边弯曲（如图1-4所示），坯料被夹住和其断面的变形最初条件仍与前述情况相同（见图1-2a；1-2b；1-4a；1-4b）。

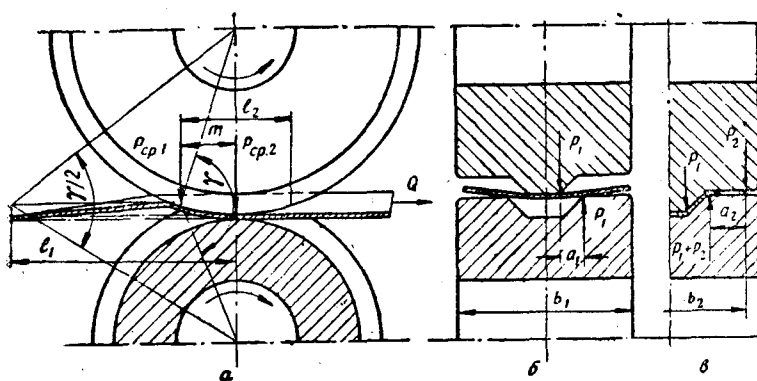


图 1-4 在一对轧辊内坯料双边弯曲（按墨克尔特）

根据墨氏的意見，坯料周边的附加弯曲是在 $L_2=2m$ 这段长度上进行并且是弯矩 M_2 作用的結果：

$$M_2 = a_2 p_2 \quad (10)$$

臂 a_2 可根据被冷弯坯料最終寬度 b_2 （图46）或其最初寬度 b_1 （图1-45）以图表法計算。

由于出現了力 p_2 ，在上下軋輥上便有經過其軸的力 p_{cp2} 作用

$$\text{着 } p_{cp2} = 2p_2 \quad (11)$$

力 p_{cp2} 可用象求力 p_{cp1} 的方法一样求出，并将等于：

$$p_{cp2} = \sigma_b \frac{l_2 t^2}{2a_2} \quad (12)$$

此时应作用于輥对上的旋轉力矩，可仍按式（5）求算。而且淨旋轉力矩值 M_a 可按式（6）求出，因为力 p_{cp2} 經過軋輥主軸后，对其旋轉力矩不发生影响。

附加摩擦力矩 M_f 之值可按式（7）求出，不过此时按式（12）求出之力 p_{cp2} 应有所增加，增加的力就是型鋼在最后变形时其定径压缩所需之力。

評論墨克爾特提出的方法时，應該指出：我們很难同意他的計算 l_1, l_2 两段值的方法，因为根据實驗資料得出， l_1 段的值，除取决于几何因素外，还在很大程度上取决于材料机械性能和坯料厚度，而 l_2 段不能伸到軋輥軸線的右边去。在这一段上，就理論方面來說成型坯料已經不与軋輥相接触。后一現象應該是力 p_{cp2} 不經過軋輥軸的結果，因此力 p_{cp2} 将对淨旋轉力矩值发生影响。

此外，在稳定的冷弯过程中，坯料下部事實上在 m 段不发生弯曲，而是直的（參閱图1-4a的虛線）。因此，坯料在 m 段只与下輥接触，只在递过軋輥軸的平面上与上輥相接触。力 p_{cp1} 的臂大大減小才使軋輥和坯料这样地接触。

坯料、軋輥和輔助工具間的摩擦力，墨克爾特也完全沒有考慮。

因此，他的方法只能夠概略地算出冷弯时的力和机床所需

功率。

M.B. 馬拉姆德建議在計算冷弯机所需功率时以弯曲型鋼各部分所費的总功为基础。

B.M. 达維多夫和Ю.K. 普澤列夫斯基对下述功率計算法作了分析和實驗研究。

如果把长L的一段弯成圓弧，弧度按中性层設为 $\frac{1}{R}$ ，則进行这种弯曲所耗之功通常将为（图1—5）

$$A = L \int_0^R M_x d\left(-\frac{1}{R}\right) x \quad (13)$$

式中 M_x ——所需弯曲力矩。

計算塑性弯曲时的弯矩值，必須知道受弯段截面高度上正应力的分布規律。取用墨克尔特提出的正应力分布图（參閱图1—3）。

根据这一图形，弯矩值不取决于受弯段的弯曲半径，并等于

$$M_x = \sigma_b \frac{bt^2}{4} \quad (14)$$

式中 b ——受弯段寬。

式(13)积分后，得

$$A = \sigma_b \frac{bt^2}{4} - \frac{L}{R} \quad (15)$$

进行代換：

$$\frac{L}{R} = \varphi$$

式中 φ ——弯曲角，以弧度計（參閱图1—5）。

此时，将矩形截面受弯段按带 φ 角的弧弯曲所需之功，不取决于此弧之弯曲半径值，将等于：

$$A = \sigma_b \frac{bt^2}{4} \varphi \quad (16)$$

由于弯曲功不取决于弯曲半径，計算形状复杂的型鋼弯曲功时，只須知道各段弯曲角的和（图1—6）：

$$\sum_{i=1}^n \varphi_i = \varphi_1 + \varphi_2 + \dots + \varphi_n \quad (17)$$

使1毫米长的型钢（按式（16）計算时，由冷弯机出来的型钢长度起着受弯段宽度的作用，所以这时 $b = 1$ 毫米）弯曲所需的总功（公斤毫米）：

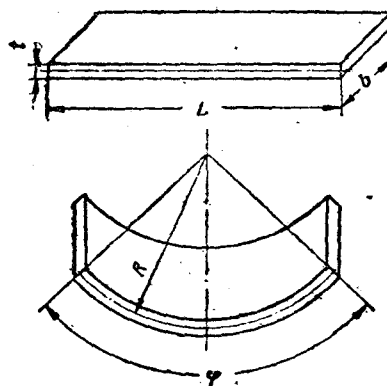


图 1—5 受弯段的淨弯曲度

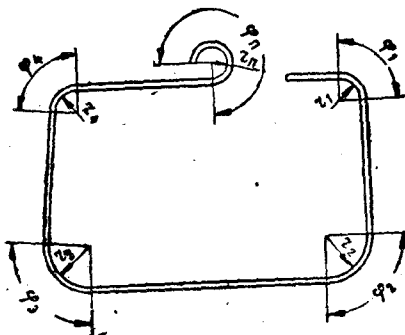


图 1—6 型钢总弯曲角計算图

$$A_{06} = \sigma_b \frac{t^2}{4} \sum_{i=1}^n \varphi_i \quad (18)$$

冷弯机进行复杂型钢弯曲所需理论功率(马力)，在不考虑因坯料和工具摩擦力引起的损失和机床传动引起的损失时，将为：

$$N_{\text{teop}} = \frac{A_{06}V}{60 \times 75} = \sigma_b \frac{t^2 V}{18000} \sum_{i=1}^n \varphi_i \quad (19)$$

式中 V ——成品出来的速度，米/分。

弯曲复杂型钢所需实际功率，在不考虑冷弯过程中引起的损失(坯料和工具的摩擦力，歛角时轧辊对坯料的补加压力，经过每对辊子后因弹跳现象型钢受弯部分再次弯曲等)时，可按下式算出：

$$N_{\text{действ}} = \frac{N_{\text{teop}}}{x} = \sigma_b \frac{t^2 V}{18000 x} \sum_{i=1}^n \varphi_i \quad (20)$$

式中 x ——表示弯曲此复杂型钢所需理论与实际功率关系的系数此系数由试验决定(参阅表1—1)。

所需总功率(考虑传动系统中的损失在内)等于：

$$N_{\text{пол}} = N_{\text{действ}} + N_{\text{xx}}$$

式中 N_{xx} ——空转所需功率。 (21)

为了计算系数 X 和空转所需功率 N_{xx} ，布泽列夫斯基进行了试验，结果见表1—1。

机床所需总功率 $N_{\text{пол}}$ 是在稳定冷弯过程中以工业用分析器测定的。空转功率 N_{xx} 是自冷弯机主轴取掉轧辊后测定的。

完成弯曲工作所需理论功率 N_{teop} 是按式(19)计算的。

型钢由冷弯机出来的速度是直接测定的。

先测定每一坯料的断面厚度，然后作机械试验。试验结果见表1—1(其中 σ_s ——屈服点)。

由表1—1可得到结论，系数又平均可取为0.10—0.07。但最

表 1—1

冷弯功率

形 状	带 钢 截 面	σ_s 公斤/ 毫米 ²	σ_b 公斤/ 毫米 ²	ϵ %	v 米/分	N _{rx} 转	N _{teor} 转	N _{pol} 转	X	备 注
	2×80	24.2	36.7	38.6	30	18.6	1.1	40	0.052	1
	11.5×63	19.8	31.8	43.3	31	3.46	0.563	12.8	0.061	
	1.2×50	26.5	40.8	40	31	3.46	0.938	14.60	0.085	2
	0.8×60	19.6	32.3	51.2	31	3.46	0.15	5.85	0.063	
	1×66	22.5	40.7	33	31	3.46	0.333	6.38	0.014	
	2×56	31.1	38.8	32.9	31.3	7.98	0.621	14.6	0.095	3
	1.2×100	18.6	32.2	46	31.3	7.98	1.475	24	0.092	
	0.5×22	22.2	34.8	34	27.9	1.16	0.098	1.92	0.128	
	1.2×42	23.5	31	42	27.9	1.16	0.4	5.8	0.086	4
	1.2×50	25	36.4	45	27.9	1.16	0.368	5.65	0.082	
	1.5×32	24.2	33.9	39.6	27.9	1.16	0.277	4.0	0.098	

附注: 1. 冷弯机有14对主轴, 蝶轮传动, 电动机N=40千瓦;

2. 冷弯机有14对主轴, 齿轮传动, 电动机N=20千瓦;

3. 冷弯机有14对主轴, 蝶轮传动, 电动机N=40千瓦;

4. 冷弯机有8对主轴, 齿轮传动、电动机N=7千瓦。

好按表1—1选择各断面的系数。

1号冷弯机空轉功率值大，原因是該机床刚制成不久，尙处于試轉阶段。第一个断面的X系数較小，大約是工具质量不良之故。

对弯曲許多断面所需冷弯机总功率是在反复調整工具后數次測得的。在冷弯过程稳定的条件下，这种測定的結果，对同一断面說来，其变化只在5—8%以內。

这样可以作出結論：当有熟練的調整工时，虽对同一断面作不同調整机床所需动能沒有变化。

由表1—1的数据也可作出結論，馬拉姆德說冷弯机效率在0.60—0.40之間是沒有根据的。

E.格里芬根据試驗也得出結論：冷弯时理論成形功值只为机床所需总功率的10%，而90%都不可避免地損失了。

照他的意見，功率損失主要原因是坯料和工具的摩擦，坯料的弹性变形以及因坯料厚度比額定尺寸增大时带鋼在軋輥間发生的冷軋現象。

所提的近似計算法，即按式(20) (21)并利用表1—1來計算冷弯机所需功率的方法，比墨克尔特的方法简单得多。因此可用近似計算法来作大致的計算。

(譯自В.И.Давыдов.М.П.Максаков

Производство гнутых тонкостенных

профилей)

三、冷弯型鋼生产工艺

根据上鋼十厂的具体情况，选择了如下的生产流程，并配置了相应的設備和厂房建筑等。